

**ОБ ОПРЕДЕЛЕНИИ ТЕМПЕРАТУРЫ НА ПОВЕРХНОСТЯХ
НЕОГРАНИЧЕННОЙ ПЛАСТИНЫ ПРИ НАГРЕВЕ РАДИАЦИЕЙ**

Ю. В. ВИДИН, Г. П. БОЙКОВ

(Представлена проф. докт. техн. наук Г. И. Фуксом)

Прогрев плоской стенки под действием радиации для целого ряда практических условий описывается системой уравнений:

$$\frac{\partial T(x, \tau)}{\partial \tau} = a \frac{\partial^2 T(x, \tau)}{\partial x^2}; \quad (1)$$

$$\lambda \frac{\partial T(+R, \tau)}{\partial x} = \varepsilon_{n1} C_0 \left[\left(\frac{T_{c1}}{100} \right)^4 - \left(\frac{T(+R, \tau)}{100} \right)^4 \right], \quad (2)$$

$$-\lambda \frac{\partial T(-R, \tau)}{\partial x} = \varepsilon_{n2} C_0 \left[\left(\frac{T_{c2}}{100} \right)^4 - \left(\frac{T(-R, \tau)}{100} \right)^4 \right]; \quad (3)$$

$$T(x, 0) = T_0 = \text{const.} \quad (4)$$

Представить решение этой системы в явном виде пока не имеется возможности из-за сложности граничных условий (2) и (3). Тем не менее математически задача решается, если каким-либо образом будут известны законы изменения температуры ($T(+R, \tau)$ и $T(-R, \tau)$) на поверхностях пластины.

Действительно, решая систему уравнений:

$$\frac{\partial T(x, \tau)}{\partial \tau} = a \frac{\partial^2 T(x, \tau)}{\partial x^2}; \quad (1')$$

$$T(+R, \tau) = T_1(\tau); \quad (2')$$

$$T(-R, \tau) = T_2(\tau); \quad (3')$$

$$T(x, 0) = T_0 = \text{const.}, \quad (4')$$

можно получить распределение температуры по сечению [1], [2]:

$$T(x, \tau) = T_1(\tau) - \frac{R-x}{2R} [T_1(\tau) - T_2(\tau)] - \\ - \frac{2}{\pi} \sum_{n=1}^{\infty} \frac{1}{n} \exp \left[- \left(\frac{\pi n}{2} \right)^2 \frac{a\tau}{R^2} \right] \sin \left(\pi n \frac{R-x}{2R} \right) \int_0^{\tau} \exp \left[\left(\frac{\pi n}{2} \right)^2 \frac{a\vartheta}{R^2} \right] \times$$

$$\times \left\{ \frac{\partial [T_1(\vartheta)]}{\partial \vartheta} + (-1)^{n+1} \frac{\partial [T_2(\vartheta)]}{\partial \vartheta} \right\} d\vartheta. \quad (5)$$

Следовательно, вопрос отыскания интеграла системы (1) ÷ (4) сводится к нахождению температуры поверхностей стенки. Последние могут быть определены, если ограничиться примерами, для которых достаточно использовать лишь один член бесконечного ряда. При таком допущении зависимость (5) принимает вид

$$\begin{aligned} T(x, \tau) = & T_1(\tau) - \frac{R-x}{2R} [T_1(\tau) - T_2(\tau)] - \\ & - \frac{2}{\pi} \exp \left[-\frac{\pi^2}{4} \frac{a\tau}{R^2} \right] \sin \left(\pi \frac{R-x}{2R} \right) \int_0^\tau \exp \left[\frac{\pi^2}{4} \frac{a\vartheta}{R^2} \right] \times \\ & \times \left\{ \frac{\partial [T_1(\vartheta)]}{\partial \vartheta} + \frac{\partial [T_2(\vartheta)]}{\partial \vartheta} \right\} d\vartheta. \end{aligned} \quad (5')$$

Производя дифференцирование этого выражения по координате x и подставляя результат в граничные условия (2) и (3), имеем:

$$\begin{aligned} \frac{1}{2R} [T_1(\tau) - T_2(\tau)] + \frac{1}{R} \exp \left[-\frac{\pi^2}{4} \frac{a\tau}{R^2} \right] \int_0^\tau \exp \left[\frac{\pi^2}{4} \frac{a\vartheta}{R^2} \right] \times \\ \times \left\{ \frac{\partial [T_1(\vartheta)]}{\partial \vartheta} + \frac{\partial [T_2(\vartheta)]}{\partial \vartheta} \right\} d\vartheta = \frac{\varepsilon_{n1} \cdot C_0}{\lambda} \left[\left(\frac{T_{c1}}{100} \right)^4 - \left(\frac{T_1(\tau)}{100} \right)^4 \right]; \end{aligned} \quad (6)$$

$$\begin{aligned} -\frac{1}{2R} [T_1(\tau) - T_2(\tau)] + \frac{1}{R} \exp \left[-\frac{\pi^2}{4} \frac{a\tau}{R^2} \right] \int_0^\tau \exp \left[\frac{\pi^2}{4} \frac{a\vartheta}{R^2} \right] \times \\ \times \left\{ \frac{\partial [T_1(\vartheta)]}{\partial \vartheta} + \frac{\partial [T_2(\vartheta)]}{\partial \vartheta} \right\} d\vartheta = \frac{\varepsilon_{n2} \cdot C_0}{\lambda} \left[\left(\frac{T_{c2}}{100} \right)^4 - \left(\frac{T_2(\tau)}{100} \right)^4 \right]. \end{aligned} \quad (7)$$

Согласно (6) и (7)

$$\begin{aligned} \int_0^\tau \exp \left[\frac{\pi^2}{4} \frac{a\vartheta}{R^2} \right] \left\{ \frac{\partial [T_1(\vartheta)]}{\partial \vartheta} + \frac{\partial [T_2(\vartheta)]}{\partial \vartheta} \right\} d\vartheta = \\ = \frac{R}{2\lambda} \cdot \exp \left[\frac{\pi^2}{4} \frac{a\tau}{R^2} \right] \times \left\{ \varepsilon_{n1} \cdot C_0 \left[\left(\frac{T_{c1}}{100} \right)^4 - \left(\frac{T_1(\tau)}{100} \right)^4 \right] + \right. \\ \left. + \varepsilon_{n2} \cdot C_0 \left[\left(\frac{T_{c2}}{100} \right)^4 - \left(\frac{T_2(\tau)}{100} \right)^4 \right] \right\}. \end{aligned} \quad (8)$$

Подстановка этого соотношения в (5') дает

$$\begin{aligned} T(x, \tau) = & T_1(\tau) - \frac{R-x}{2R} [T_1(\tau) - T_2(\tau)] - \\ & - \frac{1}{\pi} \frac{R}{\lambda} \sin \left(\pi \frac{R-x}{2R} \right) \times \left\{ \varepsilon_{n1} \cdot C_0 \left[\left(\frac{T_{c1}}{100} \right)^4 - \left(\frac{T_1(\tau)}{100} \right)^4 \right] + \right. \\ & \left. + \varepsilon_{n2} \cdot C_0 \left[\left(\frac{T_{c2}}{100} \right)^4 - \left(\frac{T_2(\tau)}{100} \right)^4 \right] \right\} \end{aligned} \quad (9)$$

или

$$T(x, \tau) = T_1(\tau) - \frac{R-x}{2R} [T_1(\tau) - T_2(\tau)] - \frac{1}{\pi} \sin \left(\pi \frac{R-x}{2R} \right) \left\{ \text{Ki}_1 \cdot (T_{c1} - T_0) \frac{T_{c1}^4 - T_1^4(\tau)}{T_{c1}^4 - T_0^4} + \text{Ki}_2 (T_{c2} - T_0) \frac{T_{c2}^4 - T_2^4(\tau)}{T_{c2}^4 - T_0^4} \right\}, \quad (9')$$

где

$$\text{Ki}_1 = \frac{\varepsilon_{n1} \cdot C_0 \left[\left(\frac{T_{c1}}{100} \right)^4 - \left(\frac{T_0}{100} \right)^4 \right] \cdot R}{\lambda (T_{c1} - T_0)},$$

$$\text{Ki}_2 = \frac{\varepsilon_{n2} \cdot C_0 \left[\left(\frac{T_{c2}}{100} \right)^4 - \left(\frac{T_0}{100} \right)^4 \right] \cdot R}{\lambda (T_{c2} - T_0)}$$

есть критерии Кирпичева [3], соответственно для левой и правой поверхностей пластины.

Из интегральных уравнений (6) и (7) можно вывести функциональные связи:

$$T_1(\tau) - T_2(\tau) = \text{Ki}_1 (T_{c1} - T_0) \frac{T_{c1}^4 - T_1^4(\tau)}{T_{c1}^4 - T_0^4} - \text{Ki}_2 (T_{c2} - T_0) \frac{T_{c2}^4 - T_2^4(\tau)}{T_{c2}^4 - T_0^4}; \quad (10)$$

$$- \ln \frac{\text{Ki}_1 (T_{c1} - T_0) \frac{T_{c1}^4 - T_1^4(\tau)}{T_{c1}^4 - T_0^4} + \text{Ki}_2 (T_{c2} - T_0) \frac{T_{c2}^4 - T_2^4(\tau)}{T_{c2}^4 - T_0^4}}{\text{Ki}_1 (T_{c1} - T_0) + \text{Ki}_2 (T_{c2} - T_0)} - 4 \int_{T_0}^{T_1} \frac{1 + 4 \text{Ki}_1 (T_{c1} - T_0) \frac{|T_1^*(\tau)|^3}{T_{c1}^4 - T_0^4}}{f(T_1^*) - T_1^* + 2 \text{Ki}_1 (T_{c1} - T_0) \frac{T_{c1}^4 - |T_1^*(\tau)|^4}{T_{c1}^4 - T_0^4}} dT_1^* = = - \frac{\pi^2}{4} \text{Fo}_0. \quad (11)$$

Эти уравнения позволяют найти температуры поверхностей

$$T(+R, \tau) = T_1(\tau) \text{ и } T(-R, \tau) = T_2(\tau) = f(T_1).$$

Следует заметить, что графическое определение температуры поверхности из выражения (11) не создает сколько-нибудь больших затруднений, так как критерий Фурье, входящий в правую часть уравнения, не связан никакой функциональной зависимостью.

В том случае, когда температуры на поверхностях пластины изменяются по одинаковым законам $T_1(\tau) = T_2(\tau) = T(\tau)$ (т. е. когда имеют место симметричные условия нагрева), соотношения (9') и (11) приобретают форму

$$T(x, \tau) = T(\tau) - \frac{2}{\pi} \sin \left(\pi \frac{R-x}{2R} \right) \text{Ki} (T_c - T_0) \times \times \frac{T_c^4 - T^4(\tau)}{T_c^4 - T_0^4}; \quad (9'')$$

$$\ln \left(\frac{T_c^4 - T^4(\tau)}{T_c^4 - T_0^4} \right) - \frac{T_c^4 - T_0^4}{\text{Ki} (T_c - T_0) \cdot T_c^3} \times$$

$$\times \left[\ln \frac{[T_c + T(\tau)] \cdot [T_c - T_0]}{[T_c - T(\tau)] \cdot [T_c + T_0]} + 2 \left(\text{arctg} \frac{T(\tau)}{T_c} - \right. \right.$$

$$\left. \left. - \text{arctg} \frac{T_0}{T_c} \right) \right] = -\frac{\pi^2}{4} F_{0_0}. \quad (11')$$

На рис. 1 приведены кривые изменения относительной температуры поверхностей, а также разность температур по толщине пластины (пунктирные линии), построенные согласно (9') и (11'). Здесь же для сравнения нанесены кривые (сплошные линии), полученные расчетом для таких же условий методом численного интегрирования [4].

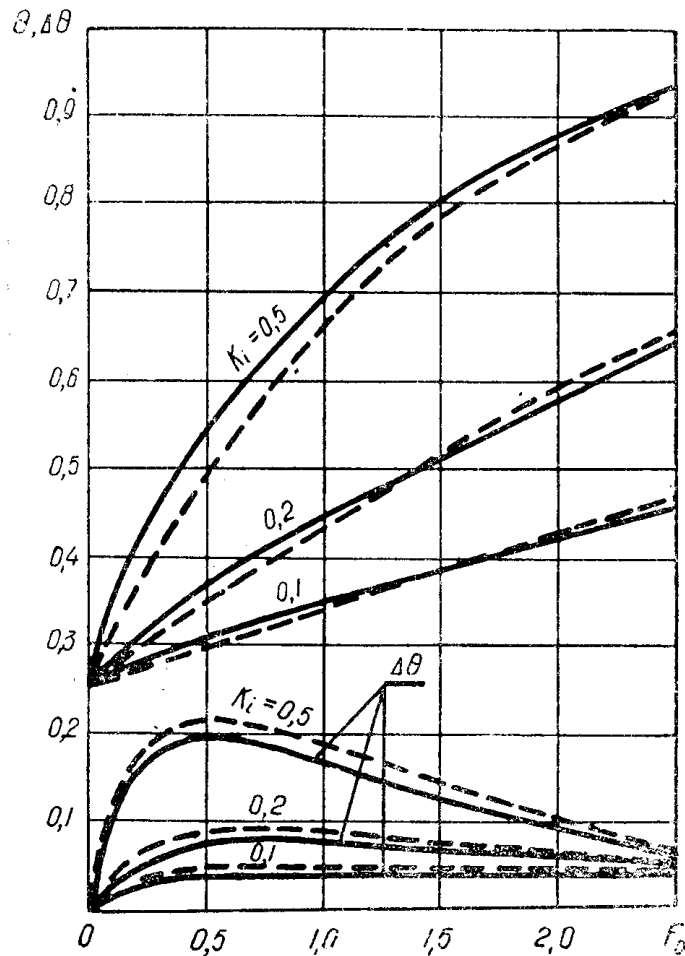


Рис. 1. Изменение относительной температуры поверхности и разности температур по сечению при симметричном нагреве радиацией.

На рис. 2 показана картина температурного поля в неограниченной пластине при $Ki_1 = 1,0$; $Ki_2 = 0,1$; $T_{c1} = 1700^\circ K$; $T_{c2} = 1190^\circ K$; $T_0 = 300^\circ K$, полученное согласно (9'), (10) и (11) (пунктирные линии). Сплошными линиями изображается распределение температуры, найденное методом численного интегрирования при тех же исходных данных.

Таким образом, благодаря структурной форме закономерностей (II) и (II'), появляется возможность проводить скоростные расчеты температуры поверхностей при симметричном и несимметричном нагреве. Это в свою очередь позволяет находить все поле температуры.

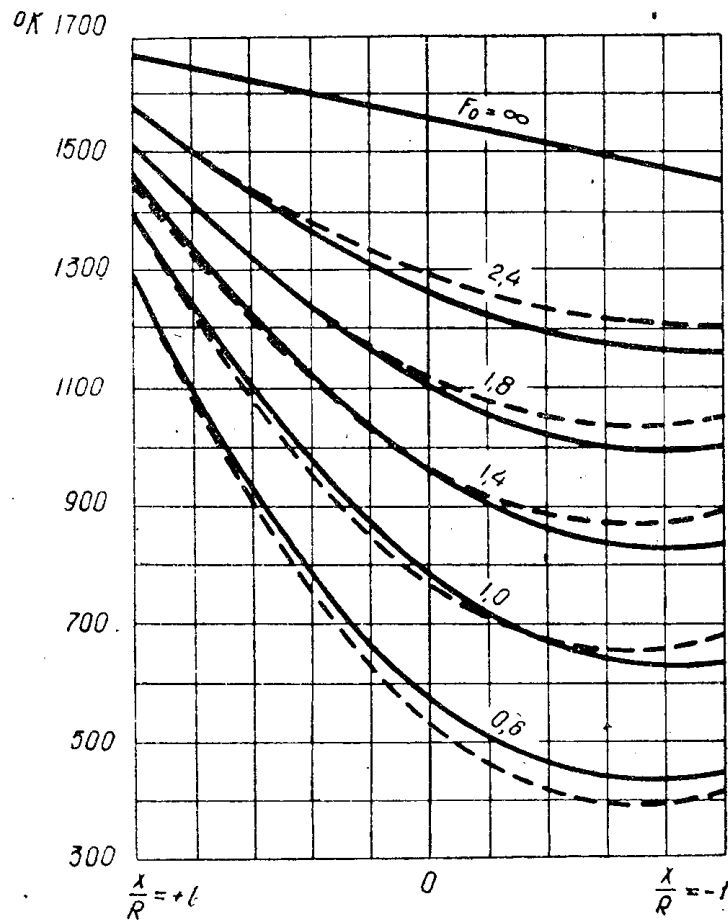


Рис. 2. Картина температурного поля в плоской стенке при несимметричном нагреве радиацией.

ЛИТЕРАТУРА

1. Кудрявцев Е. В., Чакалев К. Н., Шумаков Н. В. Нестационарный теплообмен. Изд-во Академии наук СССР, 1961.
2. Малкин В. М., Шкляр Ф. Р. Регенеративный теплообмен. Сб. научных трудов № 8, Металлургиздат, 1962.
3. Лыков А. В. Теория теплопроводности. М., ГИТТЛ, 1952.
4. Ваничев А. П. Труды НИИ—1, № 25, 1947.